

UFG

Universidade Federal de Goiás
Faculdade de Odontologia
Programa de Pós-Graduação

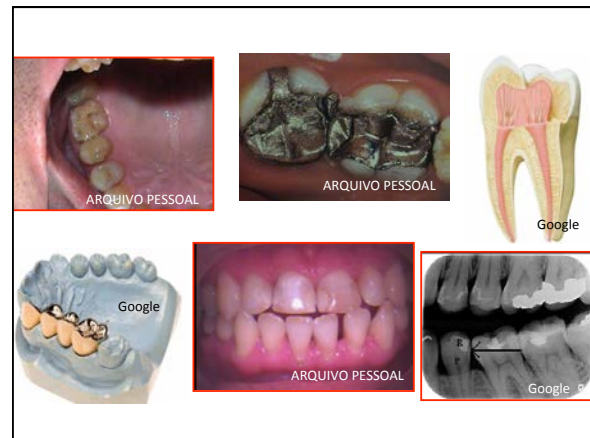
FACULDADE DE ODONTOLOGIA UFG

TESTES DE MICRO E NANOINFILTRAÇÃO

Mestrando:
Érika Bitencourt
Gláucia Paiva
Iury Castro
Ludmila Pedroso
Margaret Olivera

Coordenadores do Módulo:
Prof. João Batista Souza
Prof. Lawrence Gonzaga Lopes
Prof. Rodrigo Borges Fonseca

2010



PRINCÍPIO DA ADESÃO

Quando duas substâncias são colocadas em contato, as moléculas de uma delas atraem ou se atraídas para as moléculas de outra substância.

MOLÉCULAS DIFERENTES = ADESÃO
MOLÉCULAS DO MESMO TIPO = COESÃO

PHILLIPS, 10^a ed., 1998

ADESÃO MICROMECÂNICA

Retenção por meio de irregularidades na superfície do aderente – ataque ácido

ADESIVO = substância que promove a adesão
ADERENTE = substrato no qual o adesivo é aplicado

PHILLIPS, 10^a ed., 1998

FATORES QUE INTERFEREM NA ADESÃO

Preparo cavitário, técnica de condicionamento ácido do esmalte, uso do adesivo, técnica de inserção, procedimentos de acabamento e o próprio material restaurador

BERTOLOTTI, 1991 FUSAYAMA, 1992 GARBEROGLIO, 1995 HINOURA, 1998

TENSÃO SUPERFICIAL – LÍQUIDO
ENERGIA SUPERFICIAL - SÓLIDO

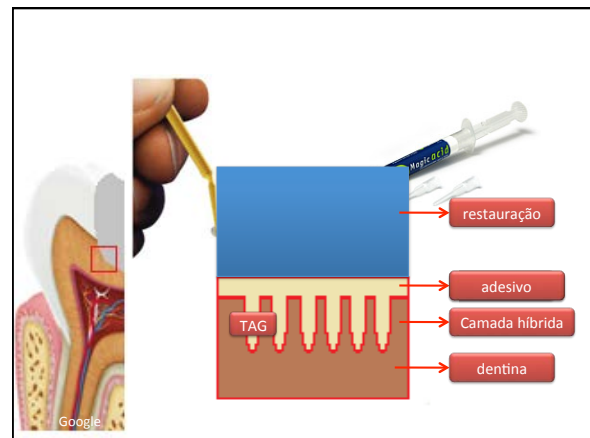
MOLHAMENTO

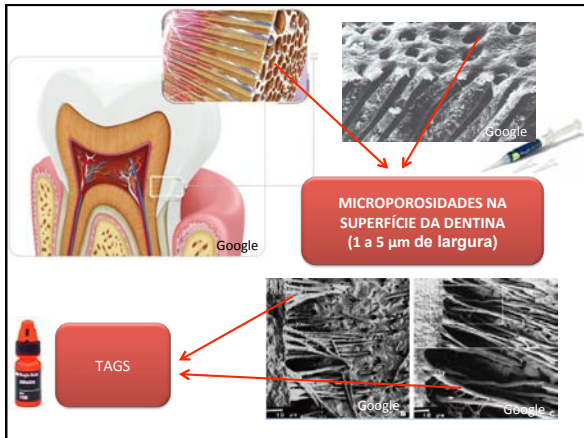




Google Google Google

PHILLIPS, 10^a ed., 1998





PROPRIEDADES FÍSICAS:
Coeficiente de expansão térmica

Choque térmico

PROPRIEDADES MECÂNICAS:
Tração, compressão, cisalhamento, flexão

BAYNE, 1993; LAMBRECHTS, 1996

The block contains images of a dental sample being cooled by water and another showing a fractured tooth section. A red callout box labeled 'fenda' points to a crack in the fractured tooth.

Coeficientes de expansão térmica linear dos materiais dentários e da estrutura dental

Material	A($10^{-6}/^{\circ}\text{C}$)
Cerâmica	6,6
Dentina	8,3
Titânio puro	8,5
Ionômero de vidro tipo II	11
Esmalte	11,4
Amálgama	25
Compósito	14-50

ANUSAVICE, 10^a ed., 1998

TESTES DE MICROINFILTRAÇÃO

MICROINFILTRAÇÃO

Movimentação de bactérias, fluidos, moléculas ou íons entre o dente e a restauração.

KIDD, 1976



ENSAIOS DE MICRO E NANOFILTRAÇÃO

MARCADORES

1. Corantes orgânicos (120 nm)
2. Corantes fluorescentes
3. Nitrato de prata (0,059 nm)

GONZALES, 1997

Corantes orgânicos

Fucsina básica
Azul de metileno
Eosina
Anilina azul



VANTAGENS

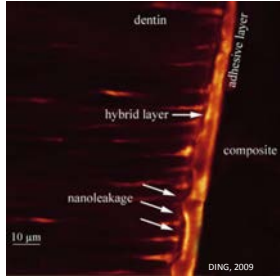
- FÁCIL USO
- BAIXO CUSTO

DESVANTAGENS

- TÓXICO
- MAIOR TEMPO DE EXPOSIÇÃO
- MARCAÇÃO TEMPORÁRIA
- MENSURAÇÃO SUBJETIVA

GONZALES, 1997

Corantes fluorescentes



VANTAGENS

- NÃO TÓXICO
- RESULTADOS REPRODUTÍVEIS
- BAIXO CUSTO

DESVANTAGENS

- INTERAÇÃO COM ÓXIDO DE ZINCO E EUGENOL
- RESULTADOS DIFERENTES ENTRE DENTES VITais E NÃO VITais (LABORATÓRIO)

GONZALES, 1997

Nitrito de prata

UTILIZADO EM TESTES DE MICRO E NANOFILTRAÇÃO
BAIXO PESO MOLECULAR
IMERSÃO DOS ESPÉCIMES EM SOLUÇÃO DE NITRATO DE PRATA - (50% EM PESO)
SENSIBILIZAÇÃO EM LUZ FLUORESCENTE

VANTAGENS

- FORTE CONTRASTE ÓPTICO
- ALTA PENETRAÇÃO



DESVANTAGENS

- TÓXICO
- REAÇÃO COM O AMÁLGAMA

GONZALES, 1997

Testes com Bactérias

Imersão em cultura de bactéria.



VANTAGENS

- MAIOR RELEVÂNCIA CLÍNICA

DESVANTAGENS

- EXIGE AMBIENTE ESTÉRIL PARA EVITAR CONTAMINAÇÃO

GONZALES, 1997

NORMA ISO 11405, 2003

Substitui norma ISO 11405, 1994

Especifica testes de resistência de união (tração e cisalhamento)

Teste para mensurar fendas marginais (em restaurações)

Teste de microinfiltração

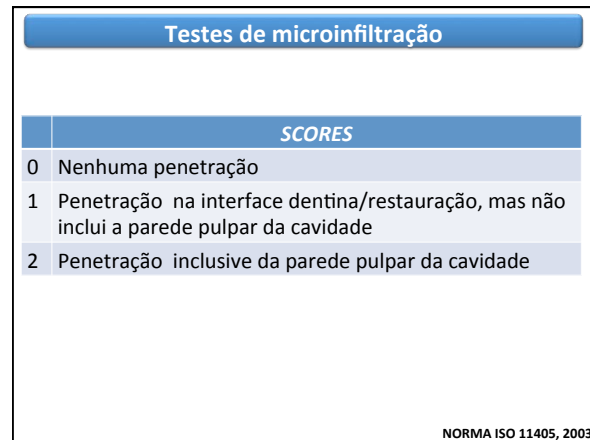
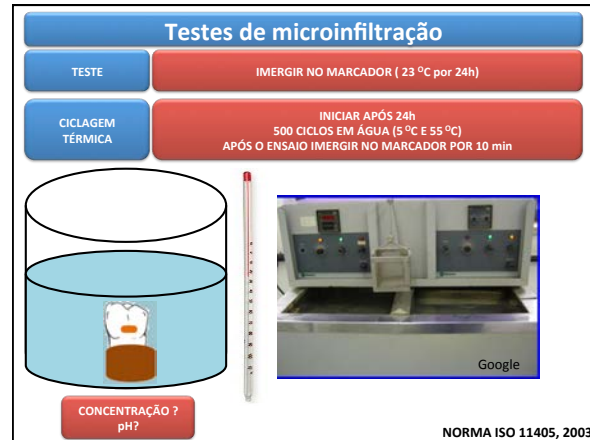
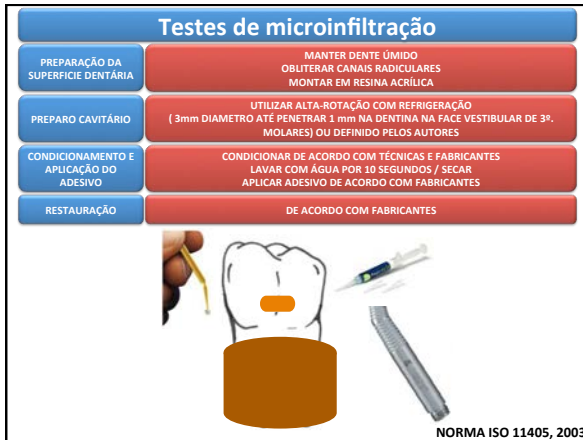
NORMA ISO 11405, 2003

Testes de microinfiltração

DENTES	PRÉ-MOLARES/MOLARES HUMANOS (16 A 40 ANOS) INCISIVOS INFERIORES BOVINS (ATÉ 5 ANOS)
CONDICÕES DO DENTE	SEM CÁRIES E RESTAURAÇÕES
PÉRIODO DE ARMAZENAMENTO	ATÉ 6 MESES APÓS EXTRACÃO
ARMAZENAMENTO	LIMPAR DENTE COM ÁGUA APÓS EXTRACÃO REMOVER TECIDO (INCLUSIVE PULPA) E SANGUE ADERENTE ÁGUA DESTILADA (4°C ATÉ -5°C) OU 0,5% CLORAMINA-T TRIIRRADIADA (MÁXIMO 1 SEMANA)



NORMA ISO 11405, 2003



Microleakage of Class II restorations with different tracers—comparison with SEM quantitative analysis.

Heintze S, Forjanic M, Cavallini A
Ivoclar Vivadent, Schaan, Liechtenstein. siegward.heintze@ivoclarvivadent.com
Erratum in:
J Adhes Dent. 2008 Oct;10(5):384.

Abstract
PURPOSE: (1) To compare SEM quantitative marginal analysis data with the depth of penetration (DP) of the three most commonly used tracers for microleakage in Class II fillings *in vitro*; (2) based on the obtained results to calculate the discriminatory power of a sample size of 12. MATERIALS AND METHODS: Standardized large cavities (mesially 1 mm above the CEJ, distally 1 mm below the CEJ, intercuspal distance 70%) were prepared into 36 extracted caries-free first mandibular molars and filled with Tetric EvoCeram/directSE. The resin being applied in horizontal layers 2 mm thick. Each increment was light cured for 20 s (1200 mW/cm²). Finishing was performed with fine diamond burs and disks. All teeth were subjected to occlusal loading (1200,000 cycles, 49 N/1.7 Hz) and simultaneous thermocycling (3000 cycles at 5 degrees C/5 degrees C). The percentage of continuous margin of the cervical dentin and enamel was evaluated on replicas using SEM. The teeth were subjected to tracer penetration with either 0.5% basic fuchsin (24 h, 37 degrees C) or 0.2% methylene blue (24 h, 37 degrees C) or 50% silver nitrate solution (4 h, 37 degrees C), followed by 8-h exposure to a photodeveloping solution and overnight fluorescent light. The teeth were mesiodistally sectioned twice. The depth of tracer penetration was measured with a stereomicroscope and averaged for each site. Due to data inhomogeneity and abnormal distribution, both SEM and DP data were transformed. Sample size calculations were performed based on standard deviation and statistical error estimates. RESULTS: For the dentin margin, there was an acceptable correlation between SEM data and both fuchsin penetration (Pearson: -0.74, p < 0.01) and silver nitrate penetration (Pearson: -0.79, p < 0.01), but not between methylene blue and SEM data. For enamel margins, no significant correlation between SEM and DP data was found for the three tracers. There was statistically no significant difference in tracer penetration between the three tracers (Kruskal Wallis: p = 0.05). For all three tracers, statistically significantly higher penetration occurred at the dentin than at the enamel margin (Wilcoxon, p < 0.05). A sample size of 12 makes it possible to discriminate between materials only when they differ in tracer penetration in the range of 1 mm for enamel and 2 mm for dentinal margins. CONCLUSION: Tracer penetration with fuchsin or silver nitrate showed a moderate correlation with SEM quantitative marginal analysis data at dentinal margins, but not at enamel margins.

In Vitro model for the study of microbial microleakage around dental restorations: a preliminary qualitative evaluation.

Matharu S, Spratt DA, Pratten J, Ng YL, Mordan N, Wilson M, Gulabivala K
Department of Conservative Dentistry, Eastman Dental Institute for Oral Health Care Sciences, University College London, UK.

Abstract
AIM: The aim of this study was to develop an *in vitro* model to replicate microbial microleakage at a tooth restoration interface using a constant depth film fermenter (CDFF). METHODLOGY: Amalgam restorations were placed in machined bovine dentine cylinders and sealed externally with varnish, leaving a 1-mm permeable layer around the tooth/restoration interface. The dentine cylinders were housed in a CDFF and 300-micron thick microcoated dental plaques were grown over their exposed surfaces. The biofilms were maintained with a muco containing artificial saliva for up to 8 weeks. Cylinders were aseptically removed from the CDFF (at 1, 2, 4, & 8 weeks) and surface-decontaminated with validated protocols prior to splitting and sampling of opposing amalgam and dentine surfaces. Scanning electron microscopy (SEM) was used to ascertain the position and structure of the bacterial aggregates. Bacterial viability was determined by vital staining of the bacteria *in situ*. RESULTS: At all sampling times, SEM showed cocci, rods and filaments on both amalgam and dentine surfaces, some originated as cascades from the surface biofilm and extended into the tooth/restoration microspace. Vital staining showed the majority of bacteria from both dentine and amalgam surfaces to be viable. CONCLUSION: This preliminary investigation showed that the CDFF may be a valuable tool for the *in vitro* study of the dynamics of microbial microleakage around dental restorations.

Nanociência e Nanotecnologia

- Taniguchi (1974);
- NANO = bilionésimo;
- 1 nanômetro (nm);
- Definição.

NANOESCALA

DNA: 2.5 nanometros diâmetro
Bactéria: 2.5 micrometros comprimento
Gota de Chuva: 2.5 milímetros diâmetro Google
átnomo - 100nm

NANOCIÊNCIA E NANOTECNOLOGIA

Em odontologia:

- compreensão dos tecidos;
- desenvolvimento de materiais.

SANO et al., 1994; SANO et al., 1995

NANOINFILTRAÇÃO

Sano 1995 – Tipo específico de infiltração mesmo na ausência de fendas marginais.

Local – base da camada híbrida – porosidades submicrômicas

Fornece a localização do defeito na interface e como ocorre a degradação.

SANO et al., 1994; SANO et al., 1995

NANOINFILTRAÇÃO

Marcador utilizado: Nitrato de Prata (íons de prata de 0.059nm de diâmetro).

A área de união é observada em microscopia eletrônica de varredura ou de transmissão.

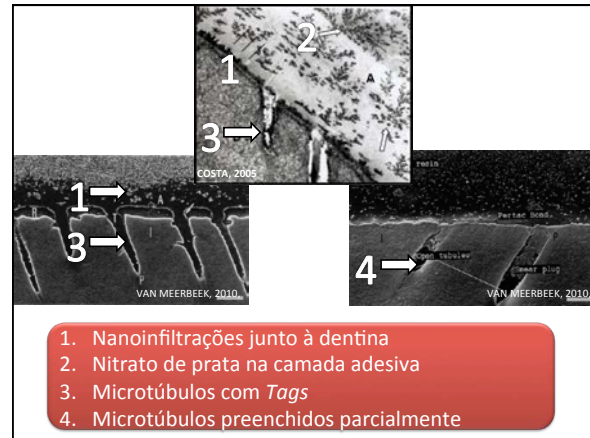
SANO et al., 1994; SANO et al., 1995

Teste de nanoinfiltração

POLIMENTO - LIXA CARBETO DE SILÍCIO GRANULAÇÃO 180
APLICAÇÃO DO MATERIAL RESTAURADOR DE ACORDO COM O FABRICANTE
ARMAZENAMENTO - ÁGUA 37° / 24HS
CORPO PROVA SECCIONADO

Teste de nanoinfiltração

APLICAÇÃO DE VERNIZ OU ESMALTE UNHA AQUEM 0,5MM ÁREA A SER ANALISADA
IMERSÃO EM NITRATO DE PRATA – 24HS
LAVA EM ÁGUA DESTILADA
IMERSÃO EM SOLUÇÃO REVELADORA -8HS COM LUZ FLUORESCENTE
LAVA COM ÁGUA CORRENTE
PREPARAÇÃO DO DENTE PARA MICROSCOPIO ELETRÔNICO



CONSIDERAÇÕES FINAIS

1. Falta padronização
2. Diferenças resultados clínicos e in vitro
3. Método Qualitativo
4. Ciclagem térmica controversa

REFERÊNCIAS BIBLIOGRÁFICAS

- 1. DE MUNCK, J et al. A Critical Review of the Durability of Adhesion to Tooth Tissue: Methods and Results. *J DENT RES.* 2005; 84(2): 118-132.
- 2. HEYMANN, HO; BAYNE, SC. Current concepts in dentin bonding: focusing on dentinal adhesion factors. *J AM DENT ASSOC.* 1993; 124(5):27-36.
- 3. HINOURA, K et al. Cavity design and placement techniques for class 2 composites. *OPER DENT.* 1988; 13(1):12-16.
- 4. SANO, H. Microleakage testing, nanoleakage, and biodegradation of resin-dentin bonds. *J DENT RES.* 2006; 85(1):11-4.
- 5. NAKAMURA H et al. The promotion of adhesion by the infiltration of monomers into tooth substrates. *J BIOMED MATER RES.* 1982; 16:265-275.
- 6. Kidd EA. Microleakage: a review. *J DENT.* 1976; 4:199-206.
- 7. NUNES MCP et al. Nanoinfiltração marginal: análise crítica da metodologia. *SALUSVITA.* 2005; 24(3):469-485.
- 8. GONZALEZ RM ET AL. Microleakage Testing. *ANVILS DENT UNIV MALAYA.* 1997; 4:31-37.
- 9. CARVALHO RM et al. Métodos de análise de interfaces adesivas: avaliação da resistência à uniao e observação por microscopia eletrônica de varredura. *Rev Bras Odontol.* 2000; 59(4):373-398.
- 10. VAN MEERBECK B et al. Microscopy investigations: Techniques, results, limitations. *AM J DENT.* 2000; 13:3D-18D.
- 11. VAN MEERBECK B et al. Comparative SEM and TEM examination of the ultrastructure of the resin-dentin interdiffusion zone. *J DENT RES.* 1993; 72(2):495-501.
- 12. USKOKOVIC V; BERTASSONI LE. Nanotechnology in Dental Sciences: Moving towards a Finer Way of Doing Dentistry. *MATERIALS.* 2009; 2(1):1-10.
- 13. SANO H et al. Nanoleakage: leakage within the hybrid layer. *OPER DENT.* 1995; 20:18-25.
- 14. SANO H et al. Long-term Durability of Dentin Bonds Made with a Self-etching Primer. *In vivo.* *J DENT RES.* 1999; 78(4): 906-911.
- 15. TAY FR et al. Two Modes of Nanoleakage Expression in Single-step Adhesives. *J DENT RES.* 2002; 81:472-476/1999.
- 16. COSTA JF. Soluções aquosas de nitrato de prata: características e desempenho nos testes de infiltração. 2005. Tese apresentada à Faculdade de Odontologia da USP, p. 70. São Paulo.
- 17. BORGES DE SOUZA L et al. Effect of thermal and mechanical load cycling on nanoleakage of Class II restorations. *J ADHES DENT.* 2004; 6(3):221-4.
- 18. Briso ALF, Sundfeld RH, Alfonso RL, Paterno FA, Sundfeld MLM. Effect of refrigeration of resin materials on the occurrence of microleakage in class II restorations. *Cienc Odontol Bras* 2007 out/dez.; 10 (4): 6-12.